

## Identification

<b>Barcode</b>	GEP-BC-001	<b>Kits</b>	LymphoTranscript - 24 analyses LymphoTranscript - 13-07-2023
<b># d'échantillon</b>	Échantillon 1	<b>Utilisateur</b>	Juliette Renaud
<b>Centre</b>	Genexpath	<b>Date de traitement</b>	7/13/2023, 9:57:01 AM
<b>Projet</b>	Genexpath Démo	<b>Version de l'application</b>	v1.1.0CE
<b>Référence interne</b>	Démo Fusions		

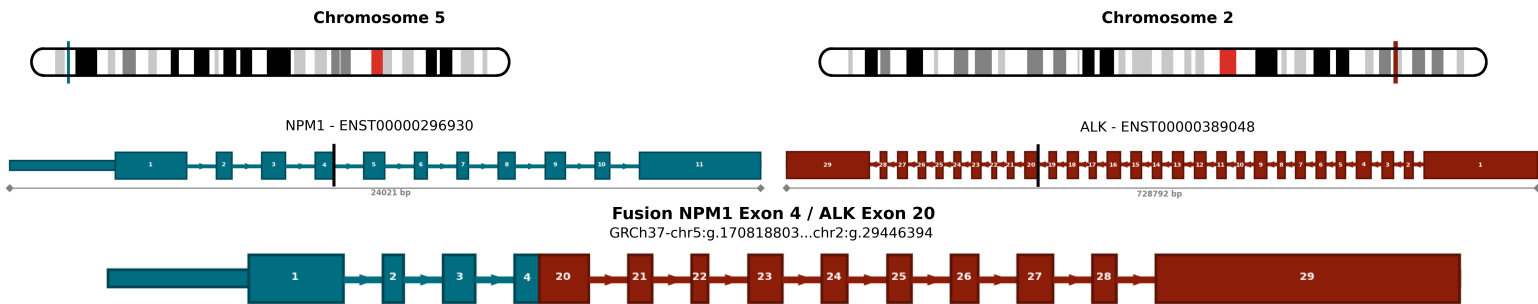
## Contrôle qualité

<b>Nombre de reads</b>	<b>Nombre d'UMI</b>	<b>Informativité en %</b>	<b>Facteur d'amplification</b>	<b>Nombre de reads GAPDH</b>	<b>Nombre d'UMI GAPDH</b>
161016	7171	23.9	22.45	21270	15434

## Résultats

QC	Fusion	Nombre de reads	Nombre d'UMI	Références
OK	NPM1E4G-ALKE20D	16792	6905	<a href="#">37 références</a>

### Fusion : NPM1E4G-ALKE20D



# Données brutes

Fusion	Nombre de reads	Nombre d'UMI
NPM1E4G-ALKE20D	16792	6905
NPM1E4G-CD28E3D	16	16
RHOAG17VE2G-RHOAG17VE2D	11	8
PCM1E31G-TP63E4D	10	5
GALNT8E1G-SF1E3D	6	3
NCOR2E9G-STAP2E10D	5	3
NPM1E8G-ALKE20D	4	3
NPM1E4G-THAP4E3D	3	3
EHD1E2G-IRF4E9aD	5	2
PCM1E36G-TCEAL7E2D	5	2
VAV1E25G-STAP2E10D	5	2
FYNE8G-JAK2E16D	4	2
IKZF2E4G-JAK2E16D	4	2
TBL1XR1E4G-GPR128E2D	4	2
TPM3E8G-SYKE9D	4	2
ATXN1E6G-TCEAL7E2D	3	2
ATXN1E7G-DUSP22E2D	3	2
PIK3CDE3G-JAK2E18D	3	2
PTPRCE23G-ERBB4E2D	3	2
STAT3E21G-CAPN12E3D	3	2
TFGE4G-JAK2E16D	3	2
CD53E1G-TRIP10E2D	2	2
LINC-PINTE4cG-GPR128E2D	2	2
NECTIN2E5G-NECTIN2E2D	2	2
NPM1E4G-ROS1E35D	2	2
FYNE13G-DUSP22E7D	7	1
ETV6E4G-BACH2E6D	4	1
RNF213E3G-S100A7E2D	4	1
CAPRIN1E15G-JAK2E18D	3	1
CARSE17G-JAK2E9D	3	1
CD74E6G-SYKE7D	3	1
ETV6E4G-NECTIN2E2D	3	1
FOXK2E3G-VMP1E6D	3	1
FYNE8G-TCEAL7E3D	3	1
ILF3E17G-DUSP22E2D	3	1
ITKE16G-TRDCE1D	3	1
ITKE5G-CAPN12E3D	3	1
ITKE5G-TCEAL7E3D	3	1
MAP7E10G-SF1E3D	3	1
PCM1E28G-NECTIN2E2D	3	1
TBL1XR1E4G-TYK2E14D	3	1
ATICE7G-TCEAL7E2D	2	1
CD58E1G-TRIP10E2D	2	1
CLTCE8G-FRKE3D	2	1
CLTCE8G-TNFAIP8E2D	2	1
CTLA4E1G-CPN2E2D	2	1
CTLA4E1G-GSSE2D	2	1
CTLA4E2G-PARP11E2D	2	1
ETV6E5aG-GPR128E2D	2	1
FOXK2E3G-MBNL1E3D	2	1
FYB1E2G-ALKE20D	2	1
FYNE13G-JAK2E16D	2	1
FYNE3G-NECTIN2E2D	2	1
FYNE7G-NECTIN2E2D	2	1
FYNE7G-SKAP1E11D	2	1
ICOSE2G-GPR128E2D	2	1
ICOSE3G-FRKE3D	2	1
ITKE13G-TCEAL7E2D	2	1
KHDRBS1E7G-FRKE3D	2	1
KHDRBS1E7G-PDGFRBE12D	2	1
LINC-PINTE1bG-ALKE20D	2	1
LINC-PINTE1bG-ROS1E35D	2	1
LINC-PINTE2bG-ROS1E36D	2	1
LINC-PINTE4aG-TYK2E16D	2	1
LINC-PINTE6G-IRF4E8D	2	1
MAP7E10G-IRF4E4D	2	1
MAP7E10G-TYK2E16D	2	1
MSCE116KE1G-STAP2E10D	2	1
NCOR2E9G-JAK2E16D	2	1
NECTIN2E5G-GPR128E2D	2	1

Pour la recherche uniquement

Utilisation pour la détection de transcrits de fusion dans les lymphomes T non hodgkiniens

2023-07-13-Demo-Fusions-GEP-BC-001-Echantillon-1

Fusion	Nombre de reads	Nombre d'UMI
NECTIN2E6G-IRF4E3D	2	1
NECTIN2E6G-NECTIN2E2D	2	1
PABPC4E8G-CD28E3D	2	1
PCM1E23G-PARP11E2D	2	1
PCM1E31G-JAK2E12D	2	1
PTPRCE15G-TNFAIP8E2D	2	1
PTPRCE2G-TYK2E14D	2	1
TBL1XR1E3G-STAP2E10D	2	1
TFGE4G-FERE10D	2	1
TFGE5G-SF1E3D	2	1
TFGE6G-DUSP22E5D	2	1
TFGE6G-TCEAL7E3D	2	1
TRAFE6G-DUSP22E2D	2	1
VCLE16G-JAK2E9D	2	1
VCLE16G-PARP11E2D	2	1
ATICE7G-FRKE3D	1	1
ATICE8G-IRF4E6D	1	1
ATICE8G-STAP2E10D	1	1
ATXN1E6G-FERE10D	1	1
ATXN1E6G-SF1E3D	1	1
ATXN1E6G-TP63E4D	1	1
ATXN2LE22G-ERBB4E2D	1	1
ATXN2LE22G-GSSE2D	1	1
CAPRIN1E15G-FGFR3E9bD	1	1
CAPRIN1E18G-DUSP22E8D	1	1
CARSE17G-GPR128E2D	1	1
CARSE17G-HTLV1ED	1	1
CD58E1G-JAK2E18D	1	1
CD74E7G-IRF4E3D	1	1
CLTCE17G-NECTIN2E2D	1	1
CLTCE30G-DUSP22E7D	1	1
CLTCE31G-FGFR3E9bD	1	1
CLTCE8G-DUSP22E3D	1	1
CTLA4E2G-JAK2E9D	1	1
CTLA4E2G-MBNL1E3D	1	1
EEF1GE6G-FGFR3E9aD	1	1
EHD1E2G-TCEAL7E3D	1	1
ETV6E5aG-FRKE3D	1	1
ETV6E5aG-STAP2E10D	1	1
FO XK2E3G-GPR128E2D	1	1
FYNE13G-ROS1E36D	1	1
FYNE7G-ALKE20D	1	1
FYNE7G-DUSP22E3D	1	1
ICOSE3G-DUSP22E7D	1	1
ICOSE3G-FERE10D	1	1
IDH2R172G-JAK2E19D	1	1
IDH2R172G-JAK2E9D	1	1
IDH2R172G-STAP2E10D	1	1
IKZF2E4G-SF1E4D	1	1
ILF3E17G-FRKE3D	1	1
ITKE13G-CAPN12E3D	1	1
ITKE16G-GPR128E2D	1	1
ITKE5G-JAK2E12D	1	1
ITKE5G-THAP4E3D	1	1
ITKE8G-SH3GLB2E4D	1	1
KHDRBS1E7G-DUSP22E7D	1	1
KHDRBS1E7G-TYK2E14D	1	1
KHDRBS1E7G-VMP1E6D	1	1
LINC-PINTE1bG-IRF4E3D	1	1
LINC-PINTE1bG-MBNL1E3D	1	1
LINC-PINTE2aG-ROS1E32D	1	1
LINC-PINTE2bG-PARP11E2D	1	1
LINC-PINTE2bG-THAP4E3D	1	1
LINC-PINTE6G-IRF4E2D	1	1
MAP7E10G-CAPN12E3D	1	1
MAP7E10G-MBNL1E3D	1	1
MAP7E10G-SKAP1E11D	1	1
MSNE11G-ROS1E34D	1	1
MSNE11G-SKAP1E11D	1	1
MSNE9G-IRF4E9aD	1	1
MSNE9G-MYO1FE25D	1	1
MSNE9G-PARP11E2D	1	1
MYBE9G-GPR128E2D	1	1
MYBE9G-IRF4E3D	1	1
NCOR2E9G-FERE12D	1	1

Pour la recherche uniquement

Utilisation pour la détection de transcrits de fusion dans les lymphomes T non hodgkiniens

2023-07-13-Demo-Fusions-GEP-BC-001-Echantillon-1

Fusion	Nombre de reads	Nombre d'UMI
NCOR2E9G-SLC52A2E2D	1	1
NECTIN2E5G-FGFR3E9aD	1	1
NECTIN2E5G-FRKE3D	1	1
NECTIN2E5G-MBNL1E3D	1	1
NECTIN2E6G-FRKE3D	1	1
NECTIN2E6G-IRF4E7D	1	1
NECTIN2E6G-JAK2E16D	1	1
NFKB2E14G-DUSP22E3D	1	1
NPM1E4G-JAK2E16D	1	1
NPM1E8G-ROS1E36D	1	1
NPM1E9G-DUSP22E7D	1	1
NPM1E9G-FERE10D	1	1
NPM1E9G-JAK2E19D	1	1
PABPC1E11G-VMP1E6D	1	1
PCM1E28G-S100A7E2D	1	1
PCM1E28G-TRIP10E2D	1	1
PCM1E31G-S100A7E2D	1	1
PCM1E36G-TRDCE1D	1	1
PIK3CDE3G-FRKE3D	1	1
PTPRCE23G-ALKE20D	1	1
PTPRCE23G-FERE12D	1	1
PTPRCE2G-DUSP22E3D	1	1
SEC31AE19G-DUSP22E3D	1	1
SELENOIE1G-DUSP22E2D	1	1
STAT3E21G-GPR128E2D	1	1
STAT3E23G-CD28E2D	1	1
STAT3E23G-DUSP22E2D	1	1
STAT3E23G-JAK2E18D	1	1
STAT3E23G-PARP11E2D	1	1
TBL1XR1E4G-VMP1E6D	1	1
TFGE3G-GPR128E2D	1	1
TFGE3G-HNRNPME3D	1	1
TFGE3G-PARP11E2D	1	1
TFGE3G-TRDCE1D	1	1
TFGE5G-SKAP1E11D	1	1
TFGE6G-DUSP22E2D	1	1
TFGE6G-GPR128E2D	1	1
TFGE7G-CD28E2D	1	1
TPM3E8G-VMP1E6D	1	1
VAV1E25G-GPR128E2D	1	1
VAV1E25G-SYKE9D	1	1
VAV1E26G-FGFR3E9aD	1	1